

## 水流による砂れきの移動特性について

京都大学工学部

正員 中川 博次

京都大学大学院

学生員 ○辻本 拓郎

**1. まえがき** 水流による砂れきの移動特性は砂れきの床面からの pickup rate  $\beta$  及び step length  $2d$  に代表される。様々な移動床現象がこうした砂れきの移動機構に基いて合理的かつ統一的に説明されるべきであるとの考え方から、本論文ではその基礎となるこれらの量の検討を行なった。

### 2. 砂れきの pickup rate について

(1)についてはこれまで砂粒に作用する力の釣り合いで論じられているが、移動前の微小振動などから運動方程式に基づいた取り扱いが望ましいと考え、(2)に図-1に示すような運動離脱としてモデル化し、剛体球の運動として考察した。

すなわち、完全転動を仮定すると、結局初期角加速度  $\ddot{\theta}_0$  は、

$$\ddot{\theta}_0 d/g = B_* C_* (\kappa_1 \cos \beta + \sin \beta) (T_* - T_{*0}) \quad (1)$$

となる。ここに、 $B_* = (\rho/\rho - 1)/\{(\rho/\rho + CM)(1 + \frac{4k^2}{A_*^2})\}^{1/2}$ ；

$$C_* = \pm \frac{A_3}{A_2} A_*^2 C_D ; T_{*0} = 2\epsilon \frac{A_3}{A_2} \sin \beta / \{A_*^2 C_D (\kappa_1 \cos \beta + \sin \beta)\}$$

であり、 $\rho/\rho$ ：相対密度、 $CM$ ：付加質量係数、 $k$ ：回転2次半径、 $A_2, A_3$ ：球の面積及び体積に対する形状係数、 $A_* = u/u_*$ 、

$u$ ：着目砂粒の中心の局所流速、 $C_D$ ：抵抗力係数、 $\kappa_1$ ：揚力抵抗力比  $T_* = u_*^2 / \{(\rho/\rho - 1)gd\}$ 、 $\epsilon$ ：遮蔽係数である。また、剪断応力の変動を正規分布に仮定し、 $T_{*0}$ を超える分についての平均値が、 $\bar{T}_{*0}$ 時間作用するとした。ここに  $\bar{T}_{*0}$  は  $T_* \geq T_{*0}$  の確率であり、 $\theta_0$  は初期移動に影響する乱れの周期に相当するもので、 $t_0 = F_p \sqrt{(\rho/\rho - 1)d/g}$

と仮定し、 $F_p$  を実験定数とした。これより、砂れきの離脱に要する平均時間を求め、その逆数を  $\beta_0$  とすると、次式を得た。

$$\beta_0 \sqrt{d / (\rho/\rho - 1) g} = F_p \bar{k}_2 B_* C_* \{(\kappa_1 \cos \beta + \sin \beta) / \beta\} \cdot f_p(T_*) \quad (2)$$

ここでおいて、 $f_p(T_*) = \rho^2 T_{*0} \left\{ 1 + \gamma_0 \frac{\phi(r_c)}{\rho_0} - \frac{T_{*c}}{T_*} \right\}$ 、

$$\rho_0 = \int_{r_c}^{\infty} \phi(r) dr / \int_{-\frac{1}{2}T_0}^{\infty} \phi(r) dr, \quad \phi(r) = \frac{1}{\sqrt{2\pi}} e^{-\frac{r^2}{2}}, \quad r_c = \sqrt{\frac{T_{*c}}{T_{*0}}} - 1,$$

であり、 $\bar{k}_2$  は等角加速度とすると 0.5 である作用力変化を表す係数、 $T_{*0}, \gamma_0$  はそれそれぞれ無次元剪断応力の平均値及び変動係数であり、Einstein<sup>1)</sup> の実験結果より 0.5 として、 $F_p \bar{k}_2$  を実験定数として、従来の実験値<sup>2), 3)</sup> と検討したもののが図-2 である。

図中の実線は  $\rho/\rho = 2.65$  に対するもので、また破線は  $\rho/\rho = 1.24$  に対する  $B_*$  を用いたものであり、ともに、 $F_p \bar{k}_2, \epsilon$  の実験値と

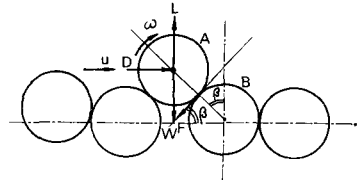


図-1 初期移動モデル

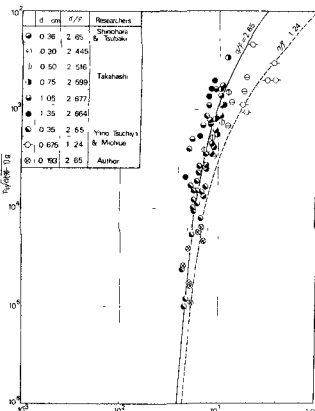


図-2 砂れきのpickup rate

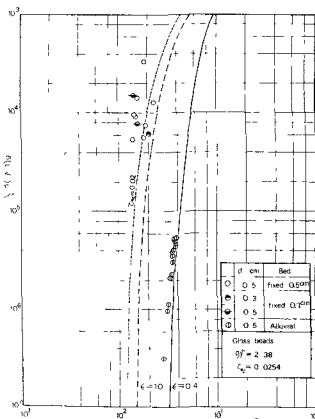


図-3 遮蔽係数の検討

適合するように、それぞれ  $3.2 \times 10^{-2}$ ,  $0.4$  として計算した。また、 $A_2 = \frac{\pi}{4}$ ,  $A_3 = \frac{\pi}{8}$ ,  $\phi = 0.44$ ,  $C_M = 0.5$ ,  $R^2/d^2 = \frac{1}{10}$ ,  $\beta = \frac{\pi}{4}$ ,  $A_* = 6.55$  として計算した。この図によると、実験値と理論曲線は良い対応を示す。 $(2)$ 式によると砂粒の pickup rate が充分推進できることからわかる。なお、図-3 はガラスビーズを用いて行った初期移動の実験によるもので、固定床表面の非拘束粒子について実験した結果と、移動床での結果を比較している。図中の直線及び一点鎮線は、それそれぞれ  $\epsilon = 0.4$ ,  $1.0$  に対するもので、実験走数  $F_* R_2$  は先と同じ値を用いている。これによると  $\epsilon = 0.4$  の移動床の場合の遮蔽係数といつては妥当であることがわかる。

3. step lengthについて step length については、床面状態が大きな影響を与えるという実験に基づく推測から、図-4 に示すような突起への衝突の際の突起乗越確率の考察を行った。車動してきた砂粒が突起に衝突する前後に對し運動量保存則、図の I と II の状態に対しエネルギー保存則を適用すると、衝突直前の砂粒の転動角速度に対する突起乗越限界値  $\omega_c$  が求められる。一方砂粒が抵抗力を受けた転動すると仮定すると、転動距離と転動速度の関係が得られ、結局突起乗越のための転動距離の限界値  $s_c d$  は次式で与えられる(近似式)。

$$s_c = \frac{\zeta(1 + \frac{R^2}{d^2})}{9P_*} \frac{\Delta x}{\{T(1 + \frac{4R^2}{d^2} - 2\Delta x) - \sqrt{1 + \frac{4R^2}{d^2}} \sqrt{2\Delta x}\}} \quad (3)$$

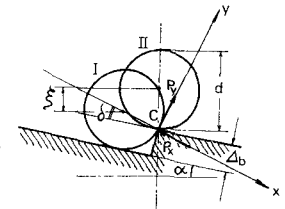


図-4 衝突モデル

ここに、 $\zeta = x/d$ ,  $\Delta x = A_b/d$ ,  $P_* = \frac{1}{2} A_b C_D / \{(\zeta + \frac{R^2}{d^2})(C_M + C_f)\}$ ,  $T = A_* u_* / \sqrt{gd}$  である。突起の分布をランダムとし、突起間隔の分布に指數分布をとる場合、突起乗越確率  $p_{ro}$  は  $\Delta x = \Delta x_0$  とすると、

$$p_{ro} = \exp(-s_c/s_0) \quad (4)$$

となる。ここに  $s_0$  は平均突起間隔で  $\Delta x_0$  に対する実験走数である。これより、砂粒の停止する有効突起の間隔は、 $s_0 / (1 - p_{ro})$  となり、Einstein らと同様、流体力学的結果を含めて、固定床での step length を表わす式。

$$\lambda = s_0 / \{(1 - p_{ro})(1 - p_0)\} \quad (5)$$

が得られる。ところが移動床では突起に衝突の際、突起及びその付近の砂粒がすべり動き、移動砂粒だけに運動量保存が成立せず、逆に突起を含む近傍砂粒数個が動ける状態の時、移動砂粒の持つ運動量が減じて停止するとし、砂粒の動ける状態の確率を  $p_0$  で代表し、結局移動床での step length は次式で与えた。

$$\lambda = s_0 / p_0 (1 - p_0) \quad (6)$$

ここに、 $s_0$ ,  $p_0$  は実験走数として  $\tau_0$ 。これらは図-5、図-6 に示すように、実験値により検討すると、実験値と適当に選ぶことによく充分に特性を示すを得る。しかし、(6)式については、今後更に詳細な構造の考察が必要と考える。

〔参考文献〕 1) Einstein & EG Searle ; Rev. Mod. Phys., 1949

2) 緒原・橋; 土木学会研究報, 昭. 32, 3) 高橋; 新防災, 昭. 41

4) 矢野・土屋・道上; 土木学会研究年報第11号昭. 43, 5) Einstein ; Trans ASCE, 1942

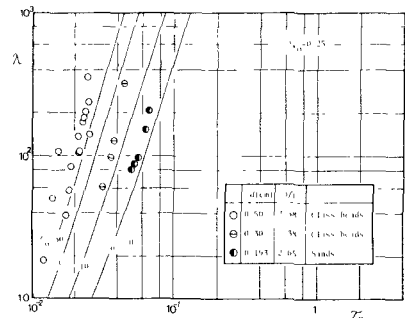


図-5 固定床での step length

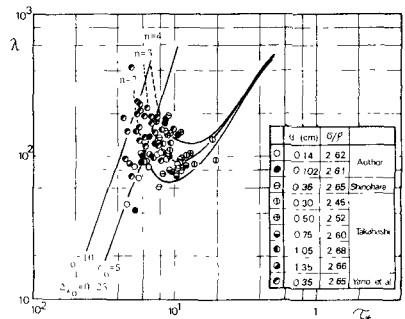


図-6 移動床での step length